

VII Encontro de Recursos Hídricos em Sergipe

CARACTERIZAÇÃO MORFOMÉTRICA E GEOESPACIAL DA BACIA HIDROGRÁFICA DO RIO JAPARATUBA (SE)

Rayane Oliveira Andrade Mestranda, UFS/PRORH, Brasil rayane27andrade@gmail.com

Ariovaldo Antonio Tadeu Lucas

Professor Doutor, UFS/DEAGRI, Brasil. aatlucas@academico.ufs.br

Marcus Aurélio Soares Cruz

Pesquisador Embrapa Tabuleiros Costeiros/ Professor Doutor, UFS/PRORH, Brasil. marcusascruz@gmail.com



RESUMO

Conhecer as características morfométricas é essencial para compreender o comportamento hidrológico em uma bacia hidrográfica e fornecer um diagnóstico para projetos conservacionistas. Embora este seja um tema bastante difundido, há poucos estudos atuais sobre a Bacia Hidrográfica do Rio Japaratuba (BHRJ) com esta temática. Nesse sentido, este artigo visa apresentar uma caracterização morfométrica e geoespacial da BHRJ, utilizando o Modelo Digital de Elevação (MDE) do *Shuttle Radar Topography Mission* (SRTM) e o *software* de geoprocessamento QGIS. Foram calculados os parâmetros morfométricos e confeccionados mapas de declividade, cobertura da terra e tipos de solos. Localizada em Sergipe, a BHRJ abrange uma área de aproximadamente 1674 km², perímetro de 233,44 km e rio principal com uma extensão de 112,20 km. Os resultados do fator de forma (0,32), coeficiente de compacidade (1,6), índice de circularidade (0,39) e razão de elongação (0,63), indicam que a BHRJ possui baixa tendência a enchentes, em condições normais de precipitação, devido ao seu form ato alongado. Apresenta uma baixa densidade de drenagem (1,26 km/km²), além de um relevo que varia de plano a forte ondulado, 19 classes de cobertura da terra e 7 classes de solos. Por fim, ressalta-se a importância desse tipo de análise para auxiliar no planejamento e gestão dos recursos hídricos.

PALAVRAS-CHAVE: Recursos hídricos. Geoprocessamento. SRTM.

1 INTRODUÇÃO

As bacias hidrográficas são importantes unidades para fins administrativos de conservação dos recursos naturais. A Lei Federal nº 9433/1997, que institui a Política Nacional de Recursos Hídricos (PNRH) (BRASIL, 1997), declara em um de seus fundamentos, que a bacia hidrográfica é uma unidade territorial para a implementação de políticas e gestão de recursos hídricos. Santos *et al.* (2018) afirmam que o não conhecimento das características da unidade de planejamento pode afetar a qualidade e disponibilidade dos recursos hídricos.

Para Aher *et al.* (2014) a caracterização morfométrica é uma condição primordial para entender o comportamento hidrológico e para execução de técnicas de manejo em uma bacia. Salis *et al.* (2019) destacam que esse tipo de estudo pode ser utilizado para um diagnóstico inicial e no planejamento de ações de projetos conservacionistas da água e do solo na bacia, cujo objetivo seja o de proteger nascentes e cursos d'água, bem como possibilitar a infiltração da água no solo.

A análise morfométrica é um tema recorrente de trabalhos científicos em várias partes do mundo, podendo ser encontrada nos estudos de Sahoo *et al.* (2024), Costa e Leite (2024), Gautam (2023), entre outros. Publicações recentes têm combinado a análise morfométrica com a de cobertura da terra. Segundo Pavanelli *et al.* (2019), as mudanças na cobertura da terra impactam no ciclo hidrológico da bacia e na dinâmica de erosão do solo.

De acordo com Paranhos Filho (2021), o uso de técnicas de sensoriamento remoto tem crescido rapidamente nos últimos anos, e à medida que a tecnologia avança as aplicações em novas áreas aumentam. Em relação à análise morfométrica, o sensoriamento remoto aliado aos Sistemas de Informações Geográficas (SIGs), se tornam ferramentas essenciais para obtenção, tratamento e visualização dos dados adquiridos.

Assim, considerando a relevância dos estudos morfométricos de bacias hidrográficas para a gestão de recursos hídricos, este trabalho visa apresentar a caracterização morfométrica e geoespacial da Bacia Hidrográfica do rio Japaratuba



(BHRJ), por meio de técnicas de sensoriamento remoto e geoprocessamento.

2 MATERIAIS E MÉTODOS

2.1 Área de estudo

A BHRJ, Figura 1, está localizada entre as coordenadas geográficas 36°49' e 36°19' de longitude oeste e 10°13' e 10°47' de latitude sul. Limitada ao norte pelas bacias hidrográficas do rio São Francisco e Sapucaia, e ao sul pela bacia hidrográfica do rio Sergipe. É uma região que abrange 18 municípios, dentre os quais está inserido parcialmente Barra dos Coqueiros, que faz parte da região metropolitana de Aracaju.

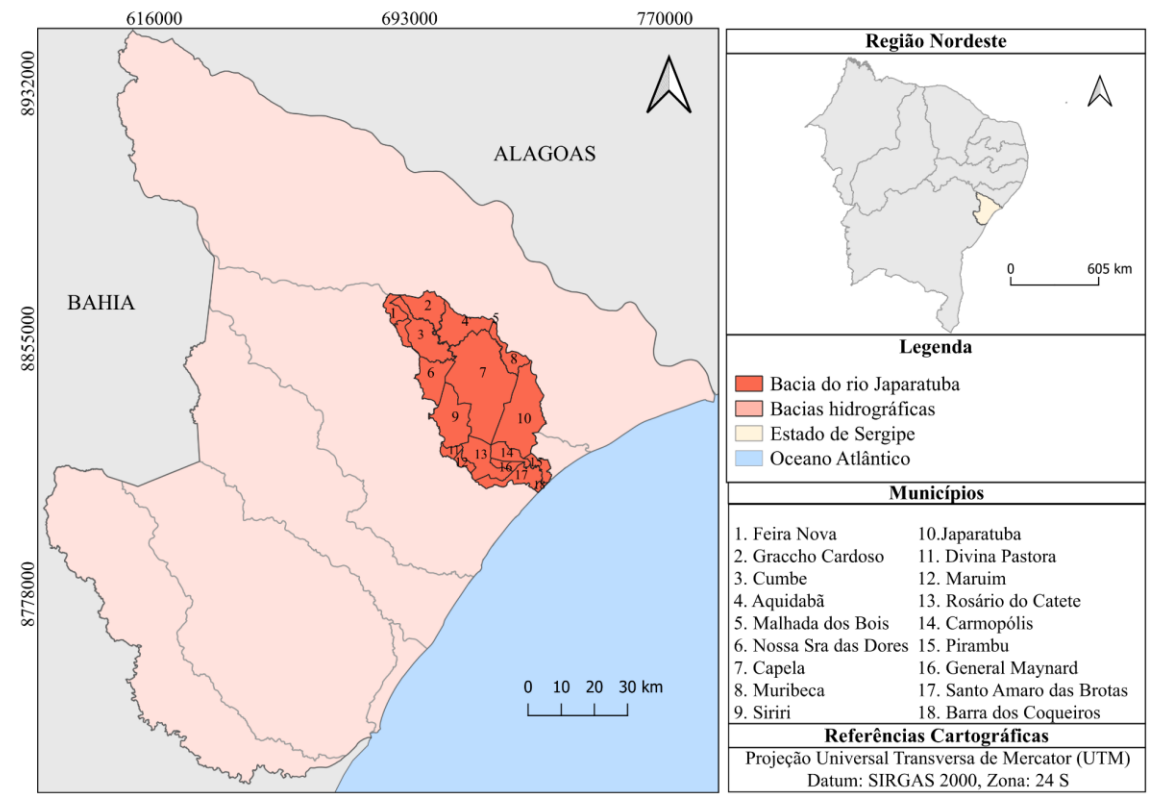


Figura 1 – Mapa de localização da BHRJ.

Fonte: autores (2024).

2.2 Aquisição e processamento dos dados

Para o desenvolvimento deste trabalho foram utilizados os seguintes dados: (i) Modelo Digital de Elevação (MDE) do *Shuttle Radar Topography Mission* (SRTM); (ii) arquivos vetoriais disponíveis no Atlas Digital sobre Recursos Hídricos de Sergipe; (iii) dados da coleção 8 do Projeto de Mapeamento Anual da Cobertura e Uso do Solo do Brasil (MAPBIOMAS, 2022).

O processamento e tratamento dos dados ocorreram no software QGIS - versão 3.34. Inicialmente, foi realizado um pré-processamento no MDE utilizando a ferramenta fill sinks disponível no pacote SAGA - Terrain Analysis Preprocessing, em que foram preenchidas as falhas do MDE original, gerando um novo arquivo. Em seguida, a rede de drenagem foi extraída através da ferramenta Terrain Analysis



Channels obtendo-se os canais de drenagem, comprimento do rio principal e a ordem dos rios. Essas informações foram importantes para a realização dos cálculos morfométricos, que seguiram as equações presentes na Tabela 1.

Tabela 1 – Equações dos parâmetros morfométricos analisados.

Parâmetro	Equação	Unidade	Fonte
Coeficiente de compacidade (Kc)	$K_c = 0.28 \frac{P}{A}$	Adimensional	Villela e Mattos (1975)
Fator de forma (Kf)	$K_f = \frac{A}{L_{axial}^2}$	Adimensional	Villela e Mattos (1975)
Índice de circularidade (Ic)	$I_c = 12,57 \frac{A}{P^2}$	Adimensional	Christofoletti (1980)
Razão de elongação (Re)	$Re = 1,128 \frac{\sqrt{A}}{L_{axial}}$	Adimensional	Schumm (1956)
Densidade de drenagem (Dd)	$D_d = \frac{L_{total}}{A}$	Km/km²	Villela e Mattos (1975)

Fonte: autores (2024).

Em que: A é a área da bacia; P é o perímetro; Laxial é o comprimento axial do rio principal; Ltotal é comprimento total da rede de drenagem; L é o comprimento do rio principal.

O mapa de declividade foi elaborado utilizando o MDE e a ferramenta declive do *software*. Em seguida, o arquivo gerado foi reclassificado seguindo as classes de declividade propostas pela EMBRAPA (1979), em que: 0 a 3% (plano); 3 a 8% (suavemente ondulado); 8 a 20% (ondulado); 20 a 45% (forte ondulado); (45 a 75% montanhoso). Já a elaboração do mapa de cobertura da terra ocorreu a partir da importação do arquivo matricial do Mapbiomas referente ao ano de 2022 no QGIS. Em seguida, a simbologia do dado foi alterada conforme o padrão de cores adotado pelo Mapbiomas. Por fim, o mapa de tipos de solo foi confeccionado através da importação do dado vetorial de solos disponível no Atlas sobre Recursos Hídricos de Sergipe.

2 RESULTADOS E DISCUSSÃO

Segundo os resultados gerados automaticamente no *software* QGIS, a BHRJ drena uma área de aproximadamente 1674 km², com perímetro de 233,44 km, diferença altimétrica de 285 m, comprimento total dos cursos d'água de 2115,46 km, comprimento axial de 72,66 km e comprimento do rio principal igual a 112,20 km. Além de 2659 cursos d'água.

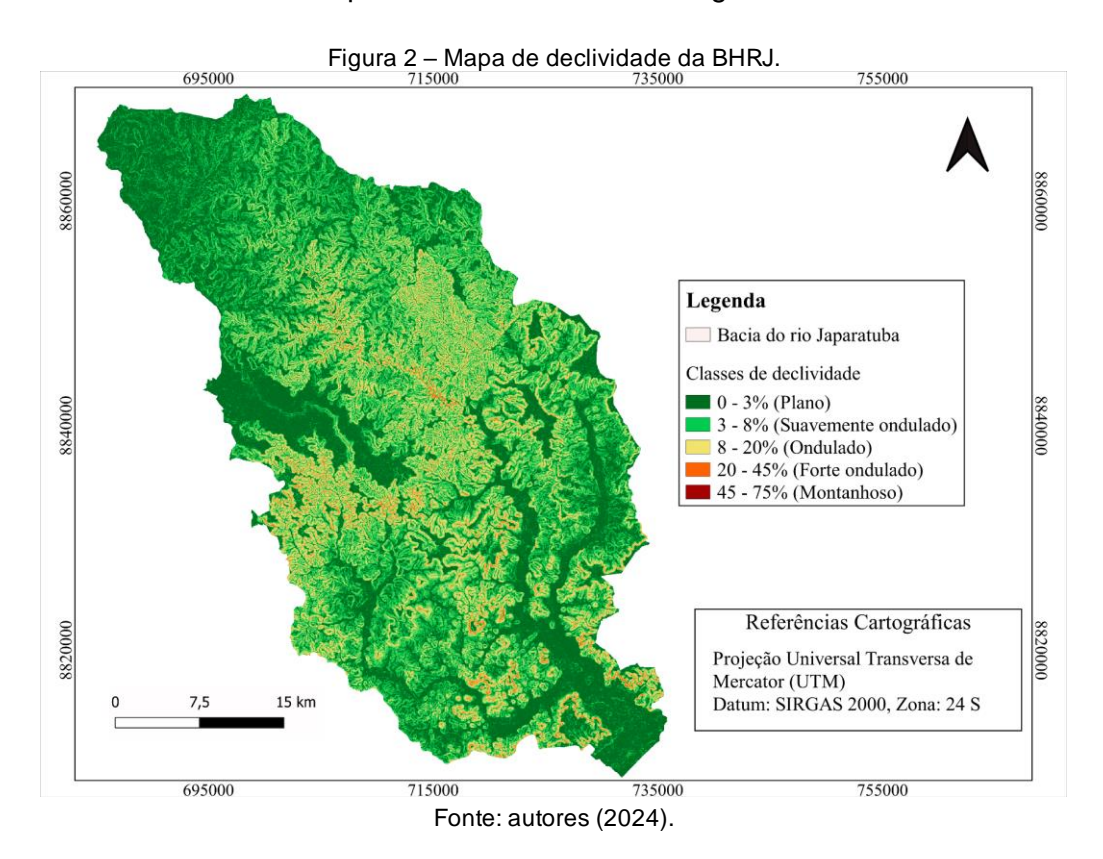
A BHRJ possui um coeficiente de compacidade de 1,6, fator de forma de 0,32, índice de circularidade de 0,39 e razão de elongação de 0,63. De modo geral, os valores indicam que a bacia possui um formato oblongo, ou seja, quando o comprimento é maior que a largura. Essas particularidades conferem à bacia baixa tendência à ocorrência de enchentes, sob condições normais de precipitação. Segundo Villela e Mattos (1975), definir esses parâmetros é relevante, pois em uma bacia estreita e longa, com fator de forma baixo, a possibilidade de ocorrência de chuvas intensas ao mesmo tempo é menor.

A hierarquia fluvial identificada é de sexta ordem, indicando que o sistema de drenagem é bastante ramificado. De acordo com Villela e Mattos (1975) o estudo do sistema de drenagem indica a maior ou a menor velocidade com que a água escoa da



bacia hidrográfica. Os autores também ressaltam que a densidade de drenagem pode variar de 0,5 km/km² para bacias com baixa densidade de drenagem, a 3,5 km/km² ou mais para bacias bem drenadas. Nesse sentido, o valor de 1,26 km/km², calculado para a BHRJ significa que a bacia apresenta baixa densidade, indicando uma bacia mal drenada.

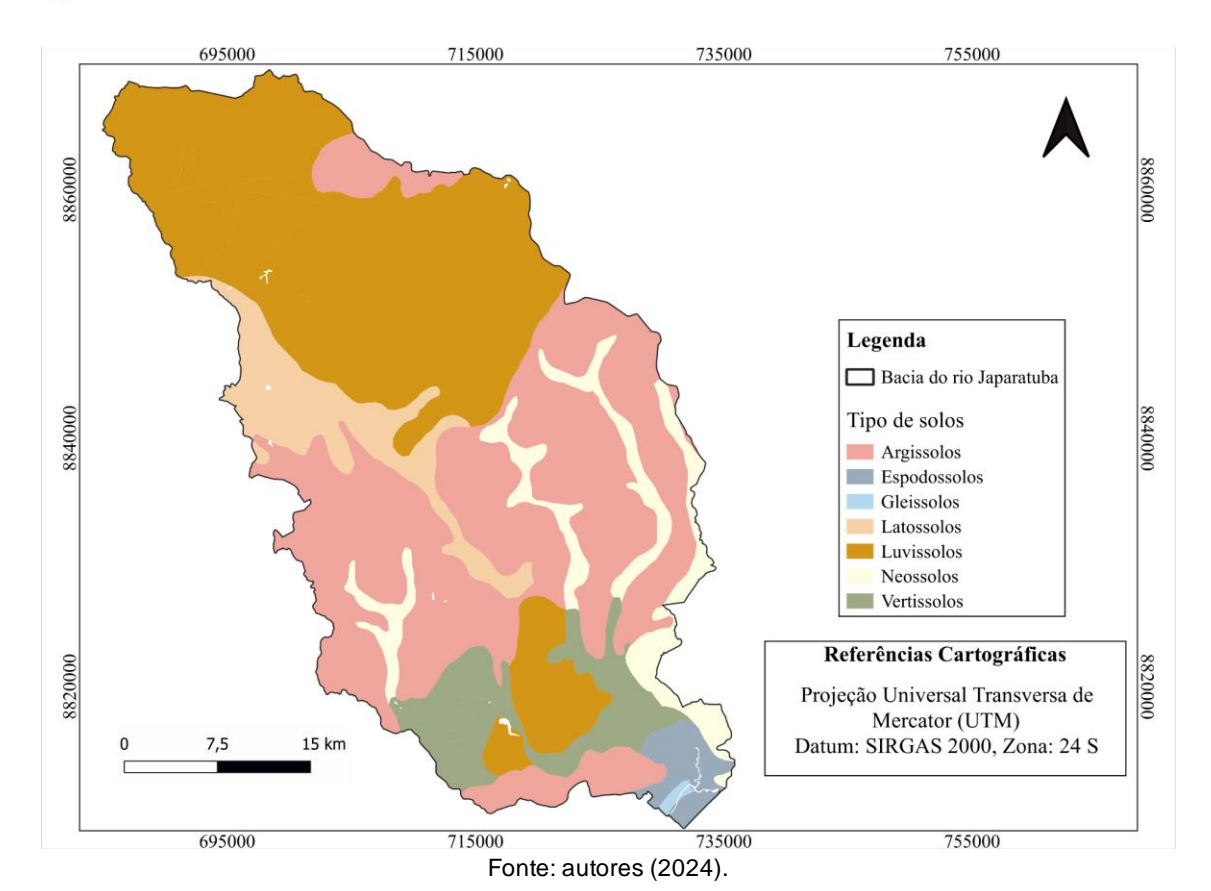
A declividade é apresentada na Figura 2. Há predominância das classes de relevo plano, suavemente ondulado e ondulado. Áreas com baixa declividade favorecem a infiltração e diminuem o escoamento superficial e os processos erosivos. Villela e Mattos (1975) afirmam que a declividade controla, na maior parte do tempo, a velocidade do escoamento superficial e afeta o tempo em que a água da chuva se concentra no leito dos rios que formam a rede de drenagem da bacia.



A análise dos tipos de solos é importante, uma vez que a infiltração é influenciada por esta condição, bem como pela declividade, uso do solo, precipitação, entre outros. A Figura 3 apresenta os principais tipos de solos identificados na BHRJ, com predominância dos Argissolos, Luvissolos e Latossolos, além dos Vertissolos, Neossolos, Espodossolos e Gleissolos ocupando áreas menores.

Figura 3 – Mapa de classes de solo da BHRJ.



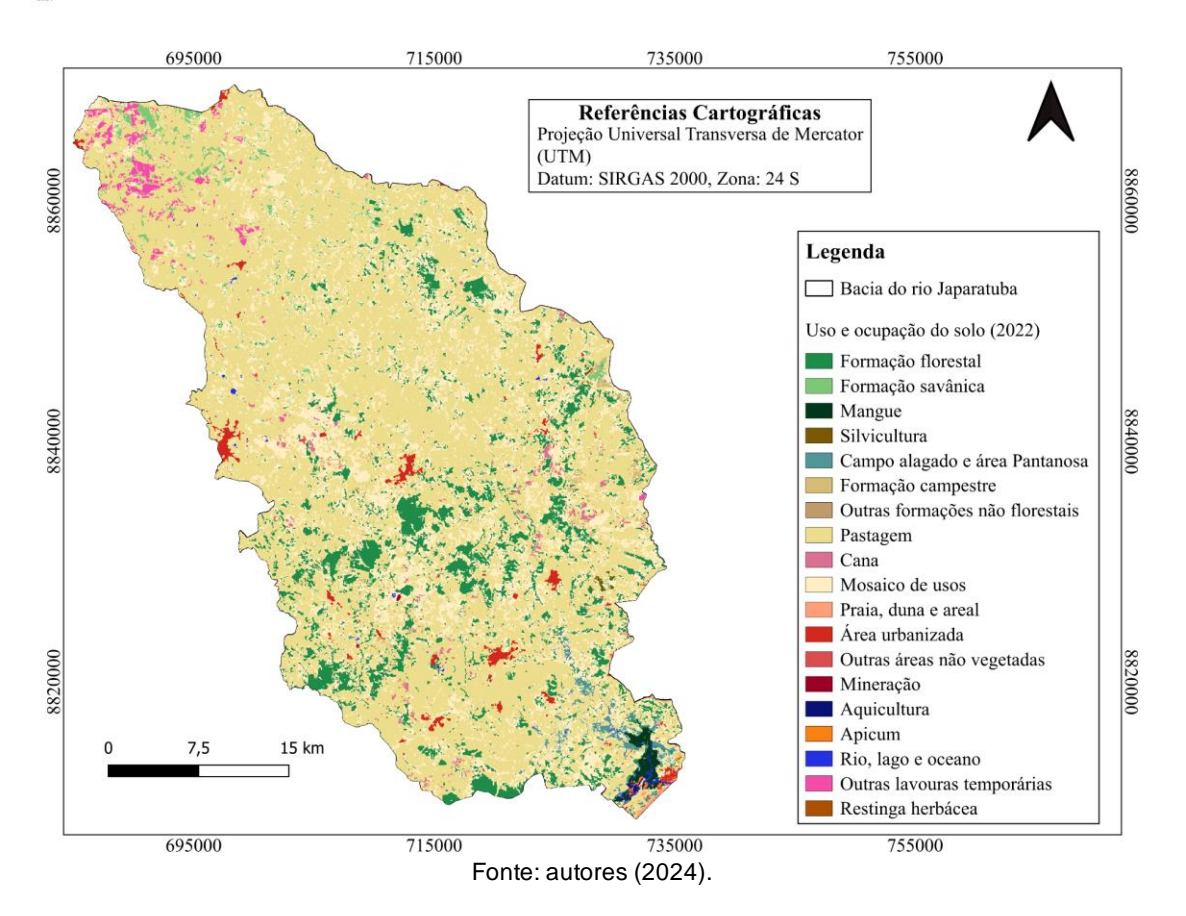


Ao associar o mapa de tipo de solo com o de declividade, observa-se que os Latossolos, presentes nas classes de relevo que variam de plano a suavemente ondulado, apresentam uma tendência maior à infiltração, sendo resistentes a processos erosivos. Já os Argissolos, inseridos majoritariamente em áreas onde o relevo varia de ondulado a forte ondulado, estão mais suscetíveis ao escoamento superficial e à erosão. Os Luvissolos estão localizados nas áreas de relevo plano, suavemente ondulado, ondulado e forte ondulado. Segundo Borges Neto (2021), essa classe também é suscetível à ação erosiva, em decorrência da coesão e da consistência do horizonte superficial.

Referente à cobertura do solo, Figura 4, foram obtidas 19 classes distintas. Destaca-se a predominância da classe de pastagem, seguido pelas classes mosaico de usos (áreas em que não foi possível diferenciar pastagem e agricultura) e formação florestal. Segundo Aragão *et al.* (2011) a alternância no manejo do solo, ou seja, entre pastagem e agricultura, impacta constantemente o solo, pois o desmatamento e o pisoteio do gado reduzem a infiltração e, consequentemente, favorece o aumento do escoamento superficial. Os autores ressaltam que os usos inadequados da terra para as condições de solo e declividade impactam a BHRJ.

Figura 4 – Mapa de cobertura da terra da BHRJ.





Ao relacionar os mapas de tipos de solo com o de cobertura da terra, percebese que nas áreas classificadas como outras lavouras temporárias está situada a classe dos Luvissolos, que é considerada, segundo Zaroni e Santos (2021), com potencial para uso agrícola desde que não estejam localizados em relevos com maiores declives. Os autores recomendam práticas conservacionistas devido à suscetibilidade aos processos erosivos. Já os Argissolos e Latossolos são encontrados em áreas de pastagem, mosaico de usos e formação florestal. De acordo com Pissarra *et al.* (2004), os Latossolos são mais indicados para atividade agrícolas e urbanas, em virtude de sua elevada permeabilidade; enquanto os Argissolos são mais adequados para pecuária.

3 CONCLUSÕES

Os resultados dos parâmetros morfométricos revelam que, sob condições naturais, a BHRJ possui baixa tendência à ocorrência de enchentes, em virtude de seu formato mais alongado. A análise da declividade associada ao tipo de solo indica maior suscetibilidade à erosão em 2 classes de solos (Argissolos e Luvissolos), quando situadas em áreas de relevo ondulado ou forte ondulado. A análise dos tipos de solo e cobertura da terra foram essenciais para entender a relação das atividades desenvolvidas na bacia. Por fim, esse tipo de estudo deve ser sempre realizado quando se deseja trabalhar com bacias.

4 AGRADECIMENTOS

A primeira autora agradece à Coordenação de Aperfeiçoamento de Pessoal de Nível Superior (CAPES) pela bolsa de mestrado.



5 REFERÊNCIAS

AHER, P. D.; ADINARAYANA, J.; GORANTIWAR S. D. Quantification of morphometric characterization and prioritization for management planning in semi-arid tropics of India: A remote sensing and GIS approach. **Journal of Hydrology**, 511, p. 850–860, 2014.

ARAGÃO, R.; ALMEIDA, J. A. P. de; FIGUEIREDO, E. E. de.; SRINIVASAN, V. S. Mapeamento do potencial de erosão laminar na bacia do rio Japaratuba, SE, via SIG. **Revista Brasileira de Engenharia Agrícola e Ambiental**, v.15, n.7, p.731–740, 2011.

BORGES NETO, I. O. **Processos hidro-erosivos em distintas classes de solo sob diferentes tipos de uso em zona semiárida.** 142f. Dissertação (Mestrado em Geografia). Universidade Federal da Paraíba, João Pessoa, 2021.

BRASIL. Lei nº 9.433, de 8 de janeiro de 1997. Institui a Política Nacional de Recursos Hídricos, cria o sistema de Gerenciamento de Recursos Hídricos, regulamenta o inciso XIX do art. 21 da Constituição Federal, e altera o art. 1º da Lei nº 8.001, de 13 de março de 1990, que modificou a Lei nº 7.990, de 28 de dezembro de 1989. **Diário Oficial de União**: seção 1, Brasília, DF, p. 470, 09 jan. 1997. PL 2249/1991.

CHRISTOFOLETTI, A. Geomorfologia. 3a ed. São Paulo: Edgard Blüchler, 1980.

COSTA, E. S. D; LEITE, E. F. Análise morfométrica na bacia hidrográfica do Ribeirão Vermelho-MS. **Revista Eletrônica da Associação dos Geógrafos Brasileiros**, Seção Três Lagoas, v.1, n.38, p. 123-147, 2024.

EMPRESA BRASILEIRA DE PESQUISA AGROPECUÁRIA - EMBRAPA. Serviço Nacional de Levantamento e Conservação de Solos (Rio de Janeiro, RJ). Súmula da 10. Reunião Técnica de Levantamento de Solos. Rio de Janeiro, 83p, 1979.

GAUTAM, P.K. The significance of morphometric analysis of Shimsha River, Karnataka, India to understand the hydrological and morphological characteristics. **River**, v. 2, n.4, p.490–505, 2023.

MAPBIOMAS. Projeto de Mapeamento Anual do Uso e Cobertura da Terra no Brasil. **Lançamos a Coleção 8 (1985-2022)**, 2022. Disponível em: https://mapbiomas.org/lancamentos/>. Acesso em: 27 maio 2024.

PARANHOS FILHO, A. C.; MARCATO JUNIOR, J; PROL, F. S.; TOMMASELLI, A. M. G. Sensoriamento Remoto e Cartografia Aplicada. In: PARANHOS FILHO, A. C.; MIOTO, C. L.; PESSI, D. D.; GAMARRA, R. M.; SILVA, N. M.; RIBEIRO, V. O.; CHAVES, J. R. (orgs). **Geotecnologias para aplicações ambientais**. Maringá, PR: Uniedusul, 2021, pp.77-104.

PAVANELLI, D.; CAVAZZA, C.; LAVRNIĆ, S.; TOSCANO, A. The long-term effects of land use and climate changes on the hydro-morphology of the Reno river catchment (Northern Italy). **Water**, v.11, n.9, p.1831, 2019.

PISSARRA, T. C. T.; POLITANO, W.; FERRAUDO, A. S. Avaliação de características morfométricas na relação solo-superfície da Bacia Hidrográfica do Córrego Rico, Jaboticabal (SP). **Revista Brasileira de Ciência do Solo**, v.28, n.2, p.297-305, 2004.

SAHOO, S.; RAMOLE, M.M.; DAHIPHALE, P.; AWASTHI, S.; PATERIYA. Geospatial technology based morphometric analysis and watershed prioritization of lower Satluj basin in India for groundwater recharge potential. **Tropical Ecology**, v.65, p.43-58, 2024.

SALIS, H. H. C.; COSTA, A. M.; VIANA, J. H. M.; SCHULER, A. E. Caracterização morfométrica da bacia hidrográfica do Córrego do Marinheiro, Sete Lagoas – MG. **Boletim de Geografia**, v.37, n.2, p. 186-201, 2019.

SANTOS, G. O.; SILVA, A. A.; BRAZ, A. R. C.; CARNEIRO, F. M. Caracterização morfométrica das bacias hidrográficas inseridas no município de Rio Verde, Goiás, como ferramenta ao planejamento urbano e agrícola. **Geografia Ensino & Pesquisa**, v.22, n.17, p.1-13, 2018.

SCHUMM, S.A. Evolution of drainage systems and slopes in badlands at Perth Amboy, New Jersey. **Geological Society of America Bulletin** v.67, n.5, p.597-646, 1956.

VILLELA, S. M.; MATTOS, A. Hidrologia aplicada. São Paulo: Mc Graw-Hill do Brasil, 1975.



ZARONI, M. A.; SANTOS, H. G. Solos Tropicais – Luvissolos. **Embrapa**, 9 dez. 2021. Disponível em:https://www.embrapa.br/agencia-de-informacao-tecnologica/tematicas/solos tropicais/sibcs/chave-do-sibcs/luvissolos. Acesso em: 02 jun 2024.